

Hybrid Estimation of Gyro Model Parameters and GEO Satellite Moment of Inertia with Extended Kalman Filter

M. Fakoor^{1*}, A. R. Kosari² and H. Salehghaffari³

1, 2, 3. Department of New Sciences & Technologies, University of Tehran

mfakoor@ut.ac.ir

*North Kargar St., Tehran, RAN

This paper deals with the estimation of gyro model parameters and GEO satellite moment of inertia at the same time in transfer orbit phase. In order to fuse information of attitude determination subsystem sensors, an extended Kalman Filter has been employed. The estimation variables are including: quaternion, angular velocity, moments of inertia, and gyro sensor model parameters which are bias and scale factor vectors. The satellite motion equations along with gyro sensor and quaternion measurements have been used to design an Extended Kalman Filter in order to estimate the desired states. The disturbance torque effect on moment of inertia identification has been also considered. Estimation results via some case studies demonstrate the numerical simulation section exhibit robustness and efficiency of Kalman Filter.

Keywords: GEO satellite, Moment of inertia estimation, Gyro calibration, Extended Kalman Filter

1. Assistant Professor (Corresponding Author)

2. Assistant Professor

3. M. Sc. Student

شناسایی ممان اینرسی و پارامترهای تنظیم ژیروسکوپ یک ماهواره زمین‌آهنگ با فیلتر کالمن توسعه یافته

مهدى فکور^{۱*}، اميررضا کوثري^۲ و حسين صالح‌غفارى^۳

۱ و ۳- دانشکده علوم و فنون نوين، دانشگاه تهران

*تهران، انتهای خیابان کارگر شمالی

mfakoor@ut.ac.ir

در این مقاله، تخمین متغیرهای ژیروسکوپ و ممان اینرسی یک ماهواره زمین‌آهنگ در فاز انتقال مداری به طور همزمان انجام شده است. متغیرهایی دینامیکی که باید تخمین زده شود شامل کوواترنسیون‌ها، سرعت‌های زاویه‌ای و ممان اینرسی ماهواره است. متغیرهای کالیبراسیون ژیروسکوپ شامل بردار بایاس و ضربیت تبدیل حسگر است. معادلات حرکت ماهواره همراه با معادلات اندازه‌گیری ژیروسکوپ، حسگر خورشیدی، و حسگر زمینی برای طراحی فیلتر کالمن توسعه یافته به منظور تخمین متغیرهای یاد شده استفاده شده‌اند. همچنین اثر گشتاور اعتشاشی در شناسایی ممان اینرسی ماهواره نیز لحاظ شده است. نتایج تخمین‌ها در شبیه‌سازی‌های عددی آورده شده است.

واژه‌های کلیدی: ماهواره زمین‌آهنگ، تخمین ممان اینرسی، کالیبراسیون، ژیروسکوپ، فیلتر کالمن توسعه یافته

علامه و اختصارات

v_k	نوبز اندازه‌گیری	
$\bar{\theta}$	تخمین بعد از مرحله تصحیح	بردار سرعت زاویه‌ای بدنه
$\hat{\theta}$	تخمین قبل از مرحله تصحیح	ماتریس ممان اینرسی
		گشتاور کنترلی ورودی
		بردار سرعت زاویه‌ای اندازه‌گیری شده
		ماتریس خطای ضربیت تبدیل ژیروسکوپ
		بردار خطای بایاس ژیروسکوپ
		بردار نوبز سفید ژیروسکوپ
		ماتریس کوواریانس ژیروسکوپ
		۱. استادیار (نویسنده مخاطب)
		۲. استادیار
		۳. دانشجوی کارشناسی ارشد

مقدمه

برای پوشش مناسب ماهواره مخابراتی زمین‌آهنگ، برآورده کردن الزام سیستمی دقت نشانه‌روی بالا برای آتنن‌ها و موتور انتقال مداری از جمله نکات کلیدی و حساس در طراحی زیرسیستم تعیین و کنترل وضعیت است. برای رسیدن به دقت نشانه‌روی بالا لازم است که یک سیستم کنترلی، وضعیت ماهواره را در محدوده مجاز حفظ کند. این سیستم کنترلی شامل حسگرهایی برای تعیین وضعیت و عملگرهایی برای اصلاح وضعیت است. برای این منظور لازم است که حسگرها کاملاً کالیبره باشند و برآورد صحیحی از

ممان اینرسی ماهواره آورده می‌شود. در نهایت، اثر اعمال گشتاور اغتشاشی در کارایی فیلتر کالمن در بخش پنجم ارائه می‌شود.

مدل سازی

معادلات حرکت ماهواره

معادلات حرکت هر ماهواره به صورت معادله (۱) تعریف می‌شود [۶]:

$$\dot{\omega} = -J^{-1}\omega \times J\omega + J^{-1}u \quad (1)$$

که در آن $\omega \in R^3$ بردار سرعت زاویه‌ای بدنه، J ماتریس ممان اینرسی، $u \in R^3$ گشتاور کنترلی ورودی است.

سینماتیک وضعیت به وسیله کوانتنیون‌های وضعیت به صورت معادله (۲) بیان می‌شود.

$$\dot{q} = \frac{1}{2}\Omega(\omega)q = \frac{1}{2}\Xi(q)\omega \quad (2)$$

که در آن

$$q = [q_1 \quad q_2 \quad q_3 \quad q_4]^T = [q_{13}^T \quad q_4]^T \quad (3)$$

و

$$\Omega(\omega) = \begin{bmatrix} -[\omega \times] & \omega \\ -\omega^T & 0 \end{bmatrix} \quad (4)$$

$$\Xi(q) = \begin{bmatrix} q_4 I_3 + [q_{13} \times] \\ -q_{13}^T \end{bmatrix} \quad (5)$$

$$[a \times] = \begin{bmatrix} 0 & -a_3 & a_2 \\ a_3 & 0 & -a_1 \\ -a_2 & a_1 & 0 \end{bmatrix} \quad (6)$$

مدل حسگرهای

حسگر خورشید و زمین بردار خورشید و زمین را در دستگاه بدنه اندازه‌گیری می‌کند، همچنین مقدار بردار خورشید در دستگاه مدار نیز با توجه به تجهیزات دیگر ماهواره مانند GPS قابل اندازه‌گیری است. در صورت وجود نویز در حسگر خورشید اندازه‌گیری انجام شده از معادله (۷) بدست می‌آید.

$$V_s^b = V_o^b V_s^0 + w \quad (7)$$

در معادله (۷) ماتریس دوران که دستگاه بدنه را به دستگاه مدار مربوط می‌سازد ماتریس کسینوس جهت تبدیل است که در [۶] آمده است.

معادله اندازه‌گیری بردار سرعت زاویه‌ای توسط ژیروسکوپ در لحظه $t = t_k$ به صورت معادله (۸) بیان می‌شود.

$$\tilde{\omega}_k = M\omega_k + b + v_{\omega k} \quad (8)$$

در معادله (۸)، ω سرعت زاویه‌ای صحیح بدنه، $\tilde{\omega}$ بردار سرعت زاویه‌ای اندازه‌گیری شده، M ماتریس خطای ضریب تبدیل ژیروسکوپ است که به صورت زیر تعریف می‌گردد.

معادلات حرکت سیستم نیز داشته باشیم.

فرآیند تخمین ممان اینرسی هر ماهواره عملیاتی وقتی که ماهواره در مدار قرار دارد یا زمانی که بر روی زمین است موضوع مطالعه بسیاری از مراجع بوده است. به دلیل اینکه روش‌های تخمین ممان اینرسی ماهواره وقتی که در مدار قرار دارد، روش‌های بالدرنگ است تنها عناصر قطری ماتریس ممان اینرسی تخمین زده می‌شود تا حجم محاسبات کم شود [۴].

در کنترل ماهواره لازم است وضعیت آن در هر لحظه مشخص شود که بدین منظور از حسگرهای تعیین وضعیت در فضای از جمله حسگر خورشید و حسگر زمین استفاده می‌شود. در حین کار این حسگرها نمی‌توانند پارامتر مورد اندازه‌گیری را با دقت کامل اندازه‌گیری کنند و بنا به دلایل مختلف مقدار اندازه‌گیری شده با مقدار واقعی تفاوت دارد. این اختلاف به عنوان نویز در خروجی حسگر در نظر گرفته می‌شود. بنابراین، اگر بخواهیم خروجی حسگرها را به طور مستقیم در سیستم کنترلی به کار ببریم، نمی‌توان عملکرد مطلوبی از سیستم کنترلی انتظار داشت. از این رو خروجی‌های حسگر را به شیوه‌های مختلفی فیلتر می‌کنند تا به خروجی‌های دقیق‌تر و مطمئن‌تری تبدیل شوند و بخشی از نویز اندازه‌گیری حذف شود.

کالیبراسیون متغیرهای ژیروسکوپ شامل مقدار بایاس و ضریب تبدیل حسگر، موضوع مورد مطالعه پژوهشگران زیادی بوده است [۵-۹]. در مرجع [۵] یک فیلتر کالمن پیشنهاد شده است که با استفاده از ترکیب اطلاعات یک مگنتومتر و ژیروسکوپ به تخمین متغیرهای دینامیکی و متغیرهای ژیروسکوپ پرداخته است.

تخمین کالمن تخمینی بهینه شناخته می‌شود. تخمین بهینه، تخمینی است که دو ویژگی اساسی دارد؛ یک ویژگی تخمین بهینه این است که باید کمترین مقدار کوواریانس خطای را داشته باشد و ویژگی دیگر آن این است که باید بایاس نداشته باشد. داشتن بایاس به این مفهوم است که امید ریاضی مقدار واقعی و مقدار تخمینی باید با هم برابر باشد.

در این مقاله سعی شده است که با اندازه‌گیری حسگرهای زمین و خورشید و داشتن ژیروسکوپ نه تنها عمل کالیبراسیون ژیروسکوپ صورت گیرد بلکه ممان اینرسی ماهواره نیز شناسایی شود. نحوه ارائه مطالب در این مقاله به شرح زیر است: در بخش بعد معادلات حرکت ماهواره و معادلات مربوط به مدل حسگرها به طور مختصر بیان می‌شود. همچنین مدل یک فیلتر کالمن توسعه یافته برای تخمین متغیرهای مورد نظر به دست آورده می‌شود. در بخش سوم همگرایی فیلتر کالمن طراحی شده مورد بررسی قرار می‌گیرد و برای ترکیب‌های مختلف اطلاعات حسگرها کارایی فیلتر ارزیابی می‌شود. در بخش چهارم نتایج شبیه‌سازی‌های مربوط به شناسایی

فیلتر نشان داده می‌شود. برای شبیه‌سازی کارایی فیلتر طراحی شده نیاز است تا معیاری از داده‌های واقعی و داده‌های آلوده به نویز داشته باشیم. در نتیجه ابتدا معادلات ماهواره به ازای شرایط اولیه و گشتاور کنترلی مشخص حل شده و داده‌های واقعی برای سیستم به دست آمده است، سپس این داده‌ها آلوده به نویز شده و با توجه به اندازه‌گیری‌ها، تخمین حالت‌های مورد نظر صورت گرفته است. برای اجرای فیلتر، ابتدا لازم است تا ماتریس‌های لازم در معادلات فیلتر کالمن را برای سیستم مورد نظر و اندازه‌گیری‌های حسگرها به دست آورد. با توجه به معادله (۱۲) برای فیلتر ماتریس A به صورت معادله (۱۵) تبدیل می‌شود.

$$A_{7 \times 7} = \begin{bmatrix} \frac{\partial \dot{q}}{\partial q} & \frac{\partial \dot{q}}{\partial \omega} \\ 0_{3 \times 4} & \frac{\partial \dot{\omega}}{\partial \omega} \end{bmatrix} \quad (15)$$

در این قسمت از حسگرها زمین و خورشید در اندازه‌گیری‌ها استفاده شده است. فرض می‌کنیم که بردارهای زمین و خورشید در دستگاه مدار بر یکدیگر عمود باشند. در این حالت بیشترین اطلاعات ممکن از این دو حسگر به دست می‌آید. هرچه زاویه بین این دو بردار کوچک‌تر شود غنای اطلاعات به دست آمده از این دو حسگر کاهش می‌یابد.

اگر بردار خورشید در دستگاه مدار را برابر $[1 \ 0 \ 0]^T$ و بردار زمین در دستگاه مدار را برابر $[0 \ 1 \ 0]^T$ در نظر بگیریم. آنگاه با توجه به معادله (۷) اندازه‌گیری حسگرها به صورت روابط (۱۵) و (۱۶) می‌شود.

$$\begin{aligned} z_{1(sun)} &= q_1^2 - q_2^2 - q_3^2 + q_4^2 + v_1 \\ z_{2(sun)} &= 2(q_1 q_2 + q_3 q_4) + v_2 \\ z_{3(sun)} &= 2(q_1 q_3 - q_2 q_4) + v_3 \end{aligned} \quad (16)$$

اندازه‌گیری‌های حسگرها آلوده به یک نویز با میانگین صفر و انحراف معیار 0.001 است. با توجه به اندازه‌گیری‌های حسگرها ماتریس H در روابط فیلتر کالمن به صورت رابطه (۱۸) می‌شود. همچنین مقدار اولیه ماتریس کوواریانس خطأ از رابطه (۱۹) به دست می‌آید.

$$\begin{aligned} z_{1(earth)} &= 2(q_1 q_2 - q_3 q_4) + v_4 \\ z_{2(earth)} &= -q_1^2 + q_2^2 - q_3^2 + q_4^2 + v_5 \\ z_{3(earth)} &= 2(q_2 q_3 - q_1 q_4) + v_6 \end{aligned} \quad (17)$$

$$H_{6 \times 7} = \begin{bmatrix} \frac{\partial z_{sun}}{\partial q} & 0_{3 \times 3} \\ \frac{\partial z_{earth}}{\partial q} & 0_{3 \times 3} \end{bmatrix} \quad (18)$$

$$P_{7 \times 7} = \begin{bmatrix} 10^{-2} I_{4 \times 4} & 0_{3 \times 3} \\ 0_{4 \times 4} & \frac{\pi}{180} I_{3 \times 3} \end{bmatrix} \quad (19)$$

$$M = \begin{bmatrix} \lambda_1 & 0 & 0 \\ 0 & \lambda_2 & 0 \\ 0 & 0 & \lambda_3 \end{bmatrix} \quad (9)$$

$b \in R^3$ ، بردار خطای بایاس ژیروسکوپ و v_{wk} ، بردار نویز سفیدی است که با اندازه‌گیری ترکیب شده و دارای کوواریانس R_w است. همچنین، ضریب تبدیل ژیروسکوپ ماهواره در شکل بردار به صورت $[\lambda_1 \ \lambda_2 \ \lambda_3]^T = \lambda$ است.

مدل فیلتر

فیلتر کالمن توسعه یافته در هر مرحله پیش‌بینی - تصحیح، معادلات سیستم را با استفاده از بسط سری تیلور حول نقطه کار فعلی خطی می‌کند.

فرض کنید معادلات سیستم و معادلات اندازه‌گیری با رابطه زیر داده شده باشد.

$$\begin{aligned} x_k &= f(x_{k-1}, u_k, w_{k-1}) \\ z_k &= h(x_k, v_k) \end{aligned} \quad (10)$$

که در معادله (۱۰) w_k و v_k به ترتیب اغتشاش مدل و نویز اندازه‌گیری هستند که توزیع گوسی دارند.

$$\begin{aligned} p(w) &\sim N(0, Q) \\ p(v) &\sim N(0, R) \end{aligned} \quad (11)$$

برای اعمال الگوریتم فیلتر کالمن لازم است که ماتریس‌های حالت و اندازه‌گیری به صورت معادله (۱۲) تعریف شوند.

$$\begin{aligned} A_{[i,j]} &= \frac{\partial f_{[i]}}{\partial x_{[j]}}(\tilde{x}_{k-1}, u_k, 0) \\ H_{[i,j]} &= \frac{\partial h_{[i]}}{\partial x_{[j]}}(\tilde{x}_k, 0) \end{aligned} \quad (12)$$

معادلات مرحله پیش‌بینی و تصحیح فیلتر کالمن به ترتیب از معادلات (۱۳) و (۱۴) به دست می‌آید.

$$\begin{aligned} \dot{\tilde{x}}_t &= f(\bar{x}, t) = \hat{x}_{k-1} \\ \bar{A}_t &= A|_{x=\bar{x}_t} \\ \dot{\bar{P}} &= \bar{A}_t \bar{P}_t + \bar{P}_t \bar{A}_t^T + Q, \bar{P}(t_{k-1}) = \hat{P}_{k-1} \end{aligned} \quad (13)$$

$$\begin{aligned} \hat{x}_k &= \bar{x}_k + k_k(z_k - h(\bar{x}_k, 0)) \\ H_k &= H|_{x=\bar{x}_t} \end{aligned} \quad (14)$$

$k_k = \bar{P}_k H_k^T (H_k \bar{P}_k H_k^T + R_k)^{-1}$

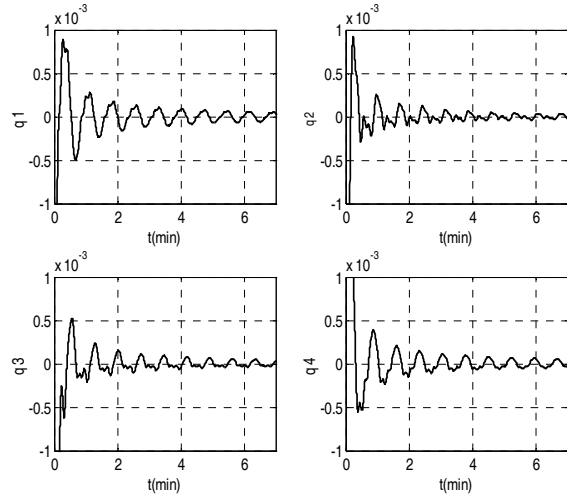
$$\hat{P}_k = (I - k_k H_k) \bar{P}_k$$

که در آن نمادهای $\bar{\theta}$ و $\hat{\theta}$ برای متغیر θ به ترتیب نشان‌دهنده تخمین قبل و بعد از مرحله تصحیح هستند.

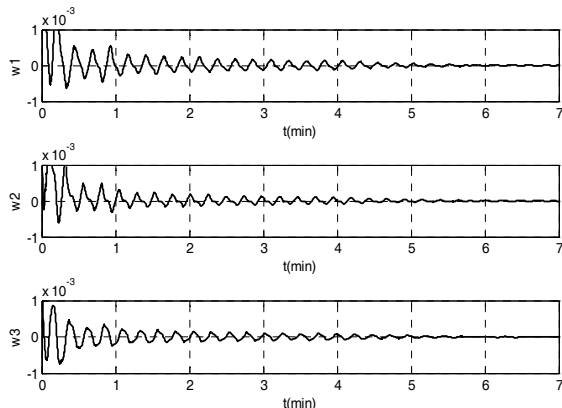
بررسی ترکیب اطلاعات حسگرها در همگرایی

در این بخش تنها همگرایی فیلتر کالمن طراحی شده مورد بررسی قرار می‌گیرد و برای ترکیب‌های مختلف اطلاعات حسگرها، کارایی

بهرتر شده است که قابل انتظار هم بود، زیرا مدل واقعی ژیروسکوپ استفاده نشده، در نتیجه غنای اطلاعات بسیار بالا رفته است.



شکل ۳ - خطای تخمین کوواترنسیون‌ها با هر سه حسگر



شکل ۴ - خطای تخمین سرعت‌های زاویه‌ای با هر سه حسگر

شناسایی ممان اینرسی ماهواره

معادلات فیلتر کالمن

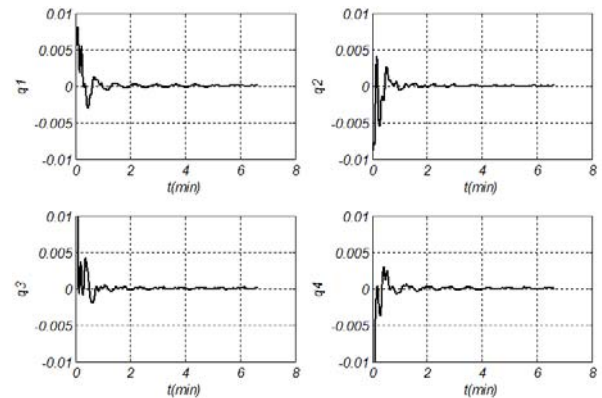
ابتدا بردارهایی که باید به وسیله فیلتر کالمن توسعه یافته تخمین زده بشوند را تعریف می‌کنیم. $[j_1 \ j_2 \ j_3] = p$ است، که در آن j_i بیانگر عنصر سطر و ستون i ام ماتریس ممان اینرسی است. مدل فیلتر کالمن توسعه یافته با درنظرگرفتن متغیرهای تخمینی به صورت معادله (۲۲) می‌شود.

$$\begin{aligned} \dot{q} &= \frac{1}{2} \boldsymbol{\Omega}(\omega) q \\ \dot{\omega} &= -J^{-1}(p)\omega \times J(p)\omega + J^{-1}(p)u + w \\ \dot{p} &= 0 \\ \dot{\lambda} &= 0 \\ \dot{b} &= 0 \end{aligned} \quad (22)$$

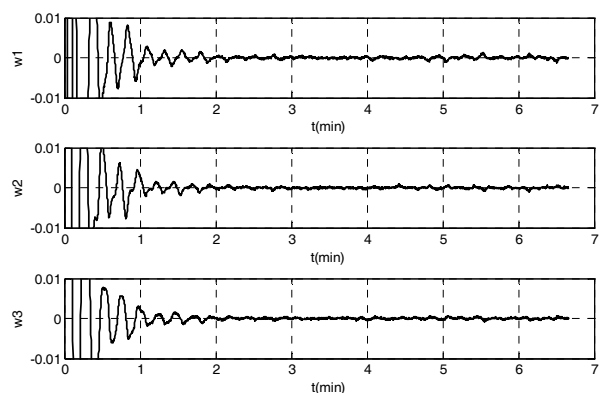
شکل (۱) و شکل (۲)، همگرایی فیلتر کالمن در تخمین متغیرهای حالت زیرسیستم تعیین وضعیت را در حالتی که تنها حسگرهای خورشیدی و زمینی استفاده شده است، نشان می‌دهد. حال حالتی را درنظر می‌گیریم که هر سه حسگر زمینی، خورشیدی و ژیرو با هم وجود داشته باشند. در این حالت از مدل واقعی ژیروسکوپ استفاده نکرده و فرض شده است ژیروسکوپ از معادله (۲۰) پیروی کند. رابطه (۲۱) تغییر در ماتریس H را نشان می‌دهد. n_i در رابطه (۲۰) بیانگر نویزی با میانگین صفر و انحراف معیار 100×10^{-3} است.

$$w_i^M = \omega_i + n_i \quad (20)$$

$$H_{6 \times 7} = \begin{bmatrix} \frac{\partial z_{sun}}{\partial q} & 0_{3 \times 3} \\ 0_{3 \times 4} & \frac{\partial \omega^M}{\partial \omega} \end{bmatrix} \quad (21)$$



شکل ۱ - خطای تخمین کوواترنسیون‌ها با حسگرهای خورشیدی و زمینی



شکل ۲ - خطای تخمین سرعت‌های زاویه‌ای با حسگرهای خورشیدی و زمینی

شکل (۳) و شکل (۴) نشان می‌دهد که همگرایی خطای تخمین در حالتی که اطلاعات هر سه حسگر با هم ترکیب می‌شوند، بسیار بیشتر از حالت‌های قبلی است که تنها از اندازه‌گیری‌های دو حسگر در یک زمان استفاده می‌شد. مقدار خطأ بعد از ۵ دقیقه برای متغیرهای کوواترنسیون به مقدار ۳۷٪ و برای سرعت‌های زاویه‌ای به اندازه ۴۲٪.

تخمین اولیه از ممان اینرسی ماهواره و مقدار دقیق آن نیز به صورت زیر در نظر گرفته شده است.

$$J = \begin{bmatrix} 2050 & 0 & 0 \\ 0 & 1000 & 0 \\ 0 & 0 & 950 \end{bmatrix}, \quad (۲۹)$$

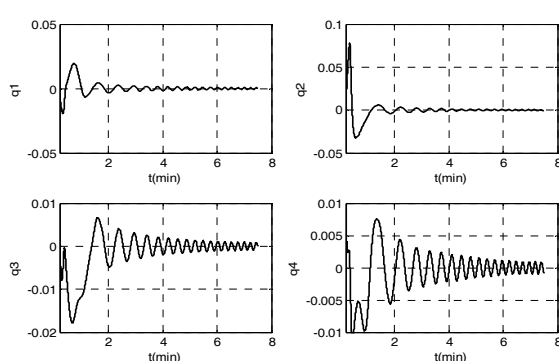
$$J_{True} = \begin{bmatrix} 2000 & 0 & 0 \\ 0 & 900 & 0 \\ 0 & 0 & 1000 \end{bmatrix}$$

در طول شبیه‌سازی، سعی و خطاهای زیادی برای به دست آوردن ماتریس کوواریانس اولیهٔ حالت‌ها انجام شده است. عملکرد فیلتر کالمن بسیار حساس به انتخاب ماتریس‌های کوواریانس خطای اولیه است. در نتیجه ماتریس‌های کوواریانس نویز فرآیند و نویز اندازه‌گیری‌ها، Q ، R_ω و R_q به ترتیب $10^{-6}I_{4 \times 4}$ ، $10^{-8}I_{3 \times 3}$ و $10^{-5}I_{3 \times 3}$ قرار داده شدند. فرکانس نمونه‌برداری برابر ۱۰ هرتز انتخاب شده است و ماتریس‌های کوواریانس اولیهٔ حالت‌ها هم به صورت زیر انتخاب شده‌اند.

$$P(q) = 0.01I_{4 \times 4}, P(\omega) = \frac{\pi}{180}I_{3 \times 3}, P(\lambda) = 0.05I_{3 \times 3}, P(b) = 10^{-5}I_{3 \times 3}, P(J) = 100I_{3 \times 3} \quad (۳۰)$$

شکل (۵) تا شکل (۹) نتایج شبیه‌سازی را نشان می‌دهد. خطای تخمین وضعیت ماهواره که در شکل (۵) نشان داده شده است بعد از ۵ دقیقه به مقداری کمتر از 0.001 می‌رسد. همچنین مقدار خطای سرعت زاویه‌ای در انتهای تخمین به مقداری کمتر از 0.001 رادیان بر ثانیه می‌رسد.

مقدار خطای ممان اینرسی سیستم بعد از گذشت ۵ دقیقه به مقدار ۱ کیلوگرم مترمربع می‌رسد. نکته قابل توجه در نمودارها این است که پس از همگرایی نسبی خطای بایاس و ضربی تبدیل ژیروسکوپ، مقدار خطای سرعت زاویه‌ای شروع به همگرایی می‌کند. عملکرد خطای ضربی تبدیل ژیروسکوپ بسیار حساس به مقدار بایاس است. بنابراین تنظیم کوواریانس خطای تخمین اولیه بایاس مشکل‌تر از تنظیم این ماتریس برای ضربی تبدیل است.



شکل ۵ - خطای تخمین متغیرهای کوواترینیون

در نتیجه با توجه به معادله (۸) که مربوط به مدل ژیروسکوپ است متغیرهای حالت به صورت $x = [q^T \ \omega^T \ p^T \ \lambda^T \ b^T]^T$ تبدیل می‌شود. همان‌طور که انتظار داشتیم بردار ممان اینرسی سیستم در معادله دینامیکی سیستم و متغیرهای مدل ژیروسکوپ خود را در معادلات اندازه‌گیری نشان داده‌اند.

خطی‌سازی ماتریس‌ها

در صورتی که معادلات سیستم به صورت رابطه (۲۴) باشد. آنگاه

ماتریس خطی شده A به صورت معادله (۲۵) تعریف می‌شود.

$$\dot{x}(t) = F(x(t)) + w(t) \quad (۲۳)$$

$$z_k = G(x_k) + v_k$$

$$A \cong \frac{\partial F}{\partial x} = \begin{bmatrix} \frac{\partial \dot{q}}{\partial q} & \frac{\partial \dot{q}}{\partial \omega} & 0_{4 \times 3} & 0_{4 \times 6} \\ 0_{3 \times 4} & \frac{\partial \dot{\omega}}{\partial \omega} & \frac{\partial \dot{\omega}}{\partial p} & 0_{3 \times 6} \\ 0_{9 \times 4} & 0_{9 \times 3} & 0_{9 \times 3} & 0_{9 \times 6} \end{bmatrix} \quad (۲۴)$$

عناصر ماتریس A از رابطه (۲۶) به دست می‌آیند.

$$\frac{\partial \dot{q}}{\partial q} = \frac{1}{2}\Omega(\omega) \quad (۲۵)$$

$$\frac{\partial \dot{q}}{\partial \omega} = \frac{1}{2}\Xi(q)$$

$$\frac{\partial \dot{\omega}}{\partial \omega} = J^{-1}\{[(J\omega) \times] - [\omega \times]J\}$$

$$\frac{\partial \dot{\omega}}{\partial p} = \begin{bmatrix} \frac{\partial \dot{\omega}}{\partial j_1} & \frac{\partial \dot{\omega}}{\partial j_2} & \frac{\partial \dot{\omega}}{\partial j_3} \end{bmatrix}$$

همچنین ماتریس اندازه‌گیری خطی‌شده که با H نشان داده می‌شود، به صورت زیر به دست می‌آید.

$$H \cong \frac{\partial G}{\partial x} = \begin{bmatrix} \frac{\partial z_{sun}}{\partial q} & 0_{3 \times 4} & 0_{3 \times 4} & 0_{3 \times 4} & 0_{3 \times 4} \\ \frac{\partial z_{sun}}{\partial \omega} & 0_{3 \times 4} & 0_{3 \times 4} & 0_{3 \times 4} & 0_{3 \times 4} \\ 0_{3 \times 4} & M & 0_{3 \times 3} & \Lambda(\omega) & I_{3 \times 3} \end{bmatrix} \quad (۲۶)$$

$$\Lambda(\omega) = \begin{bmatrix} \omega_1 & 0 & 0 \\ 0 & \omega_2 & 0 \\ 0 & 0 & \omega_3 \end{bmatrix} \quad (۲۷)$$

اکنون با ماتریس‌های به دست آمده می‌توان الگوریتم فیلتر کالمن را با استفاده از معادلات (۱۲) و (۱۳) پیاده‌سازی کرد.

نتایج شبیه‌سازی

خطاهای اولیهٔ متغیرهای ژیروسکوپ به صورت زیر در نظر گرفته شده است.

$$b = [0.8 \ 1.3 \ 0.8] \frac{rad}{s}, \lambda = [0.1 \ 0.4 \ 0.1] \quad (۲۸)$$

اثر گشتاور اغتشاشی

گشتاورهای اغتشاشی خارجی تأثیرگذار بر وضعیت ماهواره شامل گشتاورهای گردابیان گرانش، میدان مغناطیسی، بازشدن آرایه‌های خورشیدی است. سیستم کنترل و تعیین وضعیت ماهواره باید بتواند این گشتاورهای اغتشاشی را تحمل کرده و اثر آنها را از بین ببرد زیرا در غیر این صورت ممکن است ناپایداری به وجود آمده و کل سیستم از بین برود.

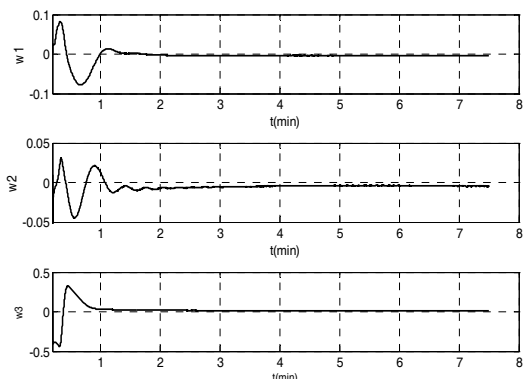
در صورت وجود گشتاور اغتشاشی، معادله دینامیکی ماهواره به صورت زیر تغییر می‌کند:

$$\ddot{\omega} = -J^{-1}\omega \times J\omega + J^{-1}u + v + T_{dis} \quad (۳۱)$$

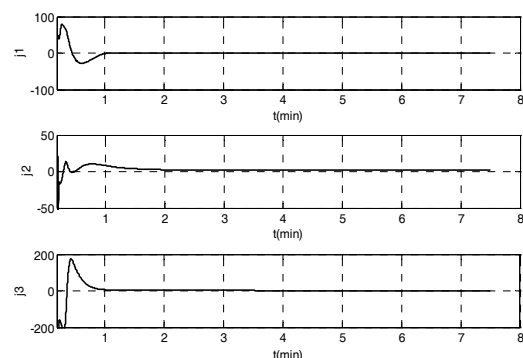
در رابطه (۳۱) عدم قطعیت مدل‌سازی است که به صورت یک نویز نرمال در نظر گرفته شده است. حال برای بررسی پایداری فیلتر در حضور گشتاور اغتشاشی، گشتاور اغتشاشی معادل $0.04 \text{ نیوتن}\cdot\text{متر}$ با لحاظ ضریب اطمینان در بدترین شرایط در زمان $2/5$ تا 5 دقیقه وارد می‌کنیم. توجه شود که معادله (۱۲) که بیانگر معادلات مرحله پیش‌بینی است تغییری نمی‌کند، زیرا فرض بر این است که مقدار گشتاور اغتشاشی معلوم نیست و معادلات کالمن همانند وقتی که نویز را در معادلات مرحله پیش‌بینی درنظر نمی‌گرفت، گشتاور اغتشاشی را هم صفر در نظر می‌گیرد.

شکل (۱۰) تا شکل (۱۳) همگرایی فیلتر را در حضور گشتاور اغتشاشی نشان می‌دهد. همان‌طور که در این شکل‌ها مشخص است مقدار خطای متغیرهای کوواترنیون تغییر محسوسی نسبت به وقتی که گشتاور اغتشاشی وجود نداشت، نکرده است زیرا معادلات سینماتیکی که اثر مستقیم در تخمین متغیرهای کوواترنیون دارد تغییری نکرده است. اما به دلیل اثری که گشتاور اغتشاشی بر روی معادلات سرعت‌های زاویه‌ای دارد، خطای تخمین سرعت‌های زاویه‌ای و به دنبال آن خطای تخمین ممان اینرسی سیستم تغییر کرده اما موجب ناپایداری تخمین نشده است.

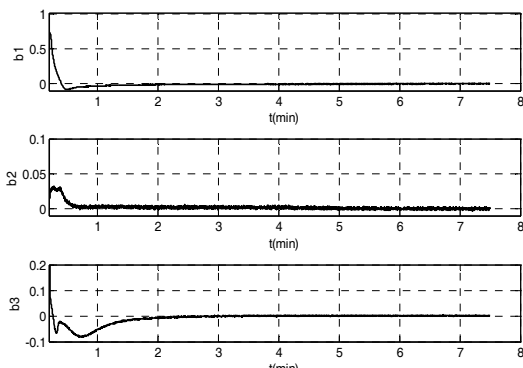
بیشترین خطای تخمین ممان اینرسی در انتهای دقیقه ۶ به مقدار تقریبی 2 کیلوگرم متر بر محدود ثانیه و بیشترین خطای تخمین سرعت‌های زاویه‌ای به مقدار $0.013 \text{ رادیان بر ثانیه}$ رسیده است.



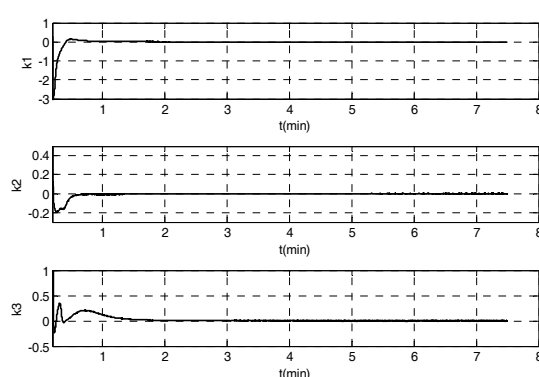
شکل ۶- خطای تخمین سرعت‌های زاویه‌ای



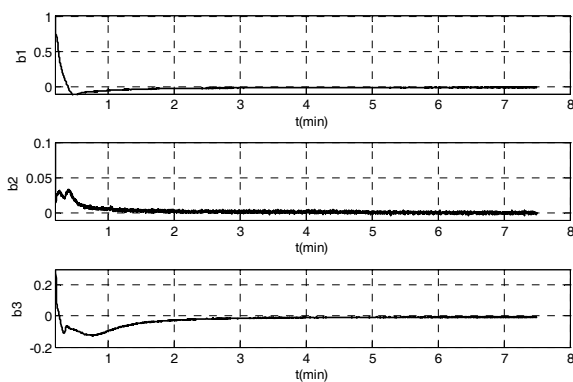
شکل ۷- خطای تخمین ممان اینرسی ماهواره



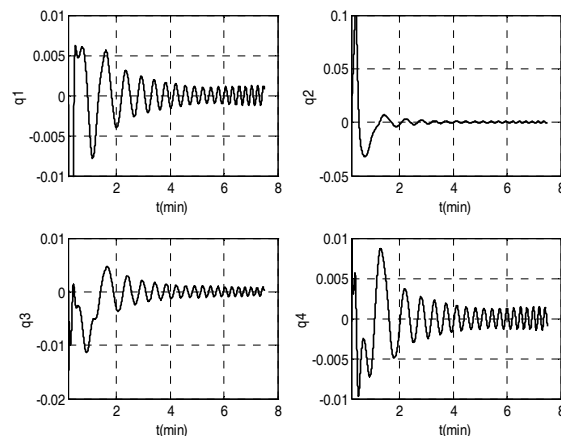
شکل ۸- خطای تخمین بایاس ژیروسکوپ



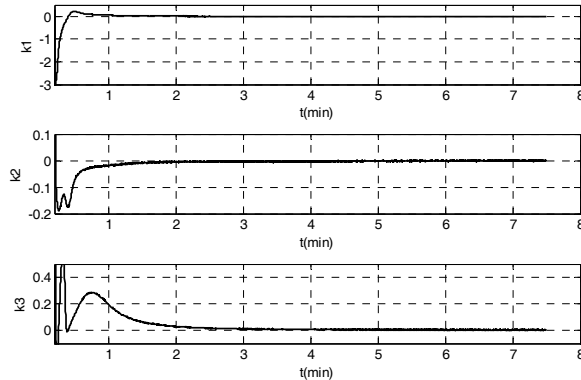
شکل ۹- خطای تخمین ضریب تبدیل ژیروسکوپ



شکل ۱۳- خطای تخمین بایاس در حضور اغتشاش



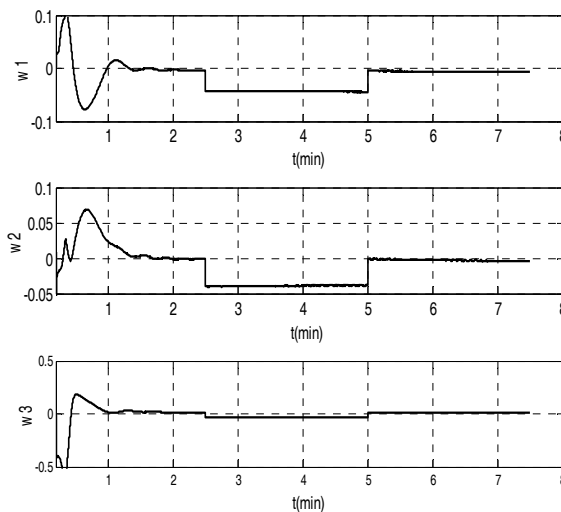
شکل ۱۰- خطای تخمین کواواترینیون‌ها در حضور اغتشاش



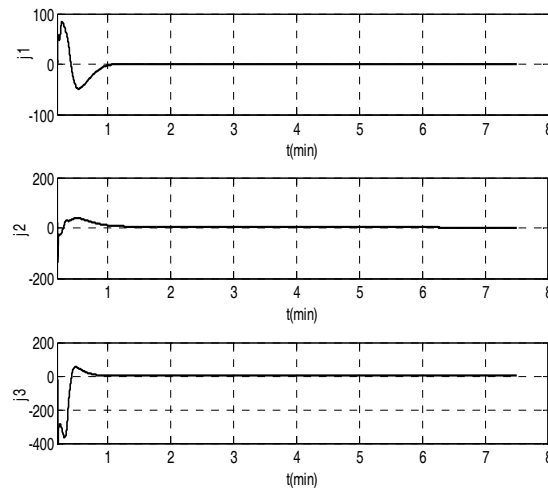
شکل ۱۴- خطای تخمین ضریب تبدیل در حضور اغتشاش

نتیجه‌گیری

در این تحقیق چگونگی تخمین ممان اینرسی ماهواره زمین آهنگ در فاز انتقال مداری که در آن جرم سیستم پیوسته به سبب مصرف سوخت در حال کم شدن است، مورد تحلیل و بررسی قرار گرفته است. همچنین چگونگی دستیابی به دقت بالا در تخمین اندازه‌گیری اطلاعات وضعی پروازی با استفاده از ترکیب اطلاعات حسگرهای تعیین وضعیت یک ماهواره زمین آهنگ در فاز انتقال مداری از مدار پارکینگ به مدار دریافت مورد بررسی قرار گرفته است. در این راستا از روش فیلتر کالمن که یکی از روش‌های تجمعی اطلاعات حسگرهایست و همچنین روش فیلتر کالمن توسعه یافته که روشی ساده در مقایسه با روش‌های مشابه تخمین متغیرها در کاربردهای عملی است استفاده شده است. از جمله مزایای این راهکار این است که علاوه بر این به دلیل همپوشانی اندازه‌گیری‌های حسگرهای میزان نایقیتی در سیستم نیز کاهش می‌یابد. در اینجا محاسبات انجام پذیرفته با فرض ثابت و بدون خطا بودن بردارهای خورشید و زمین انجام پذیرفته در حالی که در عمل



شکل ۱۱- خطای تخمین سرعت‌های زاویه‌ای در حضور اغتشاش



شکل ۱۲- خطای تخمین ممان اینرسی در حضور اغتشاش

- [7] Pittelkau, M. E., "Everything is Relative in Spacecraft System Alignment Calibration," *Journal of Spacecraft and Rockets*, Vol. 39, No. 3, 2002, pp. 460-466.
- [8] Pittelkau, M. E. "Kalman Filtering for Spacecraft System Alignment Calibration," *Journal of Guidance, Control and Dynamics*, Vol. 24, No. 6, 2002, pp. 1187-1195.
- [9] Lai, K. L., Crassidis, J. L. & Harman, R. R., "In-Space Spacecraft Alignment Calibration using the Unscented Filter," *Proceedings of AIAA Guidance, Navigation, and Control Conference Exhibit*, Austin, Texas, USA, 2003.
- [10] Ma, G. and Jiang, X., "Unscented Kalman Filter for Spacecraft Attitude Estimation and Calibration using Star Tracker Measurements," *Proceedings of the 4th International Conference on Machine Learning and Cybernetics*, Guanzhou, 2009.
- [11] Myung, H. and Bang, H., "Spacecraft Parameter Estimation by Using Predictive Filter Algorithm," *Proceedings of IFAC World Congress*, Seoul, Korea, 2008.
- [12] Ejiang, Y. T., Chang, F. R. and Wang, L. S., "Data Fusion of Three Attitude Sensors," *SICE*, Nagoya, 2001.
- [13] Ziyang, Zh., Zhisheng, W. and Yong, H., "Multi-Sensor Information Fusion for Aircraft Attitude Determination System," *World Congress on Computer Science and Information Engineering*, 2009.
- [14] Myung, H. S. Yong, K. K. and Bang, H., "Unscented Kalman Filtering for Hybrid Estimation of Spacecraft Attitude Dynamics and Rate Sensor Alignment," *Advances in the Astronautical Sciences*, Vol. 118, No. 1, 2009, pp. 217-228.
- [15] Yu, Ch. and Huang, Y., "Hybrid Filtering for Satellite Attitude Estimation with Asynchronous Multi-Sensors," *3rd International Conference on Intelligent Networks and Intelligent Systems*, 2010.
- [16] Bolandi, H. and Fani-Saberi, F., "Design of an Attitude Estimation Algorithm for a LEO Sattelite Based on Multiple Models Adaptive Method And Comparison With EKF," *Journal of Space Science and Technology*, Vol. 2, No. 4, 2009, pp. 17-26.

مختصات بردار خورشید در دستگاه مدار دارای خطاست. با محاسبه بردارها از یک تخمین‌گر مداری می‌توان اثر خطای تخمین بردارها در کارایی فیلتر را بررسی کرده و میزان پایداری فیلتر در اثر این خطای نشان داد. همچنین با بررسی خطای تخمین برای حالتهای مختلفی که حسگرهای زمینی و خورشیدی نسبت به یکدیگر قرار دارند، می‌توان در جایابی بهینه این حسگرها بر روی ماهواره از فیلتر کالمن کمک گرفت.

مراجع

- [1] Gadelha de Souza, L. C, "Experimental Parameters Estimation of Satellite Attitude Control Simulator," *Journal of Aerospace Engineering, Sciences and Applications*, Vol. 1, No 2, 2008, pp. 14-22.
- [2] Carter, M. T., Vadali, S. R. and Chamitoff, G. E., "Parameter Identification for the International Space Station Using Nonlinear Momentum Management Control," *Proceedings of the AIAA Guidance, Navigation, and Control Conference*, AIAA 97 3524, 1997, pp. 252–262.
- [3] Bergmann, E. V. and Dzielski, J., "Spacecraft Mass Property Identification with Torque-Generating Control," *Journal of Guidance, Control and Dynamics*, Vol. 13, No. 1, 1990, pp. 99-103.
- [4] Creamer, G., DeLaHunt, P., Gates, S. and Leyenson, M. "Attitude Determination and Control of Clementine during Lunar Mapping," *Journal of Guidance, Control and Dynamics*, Vol. 19, No. 3, 1996, pp. 505-511.
- [5] Gebre-Egziabher, D., Hayward, R. C. and Powell, J. D., "Design of Multi-Sensor Attitude Determination Systems," *IEEE Transactions on Aerospace and Electronic Systems*, Vol. 40, No. 2, 2004, pp. 627-648.
- [6] Wertz, J. R., (Editon), *Spacecraft Attitude Determination and Control*, D. Reide Publishing Company, 1978, pp. 414-416.